

УДК 544.171.6:544.18:547.1'128

**ИССЛЕДОВАНИЕ ЭЛЕКТРОННОГО СТРОЕНИЯ ФЕНИЛСИЛАНОВ МЕТОДАМИ  
РЕНТГЕНОВСКОЙ ЭМИССИОННОЙ СПЕКТРОСКОПИИ  
И КВАНТОВО-ХИМИЧЕСКИХ РАСЧЕТОВ**

**Т.Н. Даниленко, М.М. Татевосян, В.Г. Власенко**

*Научно-исследовательский институт физики Южного Федерального университета, Ростов-на-Дону,  
e-mail: danienko@sfedu.ru*

*Статья поступила 23 ноября 2011 г.*

*С доработки — 8 февраля 2012 г.*

Проведено исследование электронного строения ряда фенилсиланов  $\text{Ph}_{4-n}\text{SiH}_n$  ( $n = 0—3$ ) методами рентгеновской эмиссионной спектроскопии и квантово-химических расчетов в приближении теории функционала плотности. На основе расчетов построены теоретические рентгеновские эмиссионные  $\text{Si}K\beta_1$ -спектры фенилсиланов  $\text{Ph}_{4-n}\text{SiH}_n$  ( $n = 0—4$ ), энергетическая структура и форма которых оказались в хорошем согласии с экспериментом. Также построены распределения плотностей электронных состояний различной симметрии атомов Si, C, H. Анализ полученных рентгеновских флуоресцентных  $\text{Si}K\beta_1$ -спектров и распределения плотностей электронных состояний в соединениях  $\text{Ph}_4\text{Si}$  и  $\text{Ph}_3\text{SiH}$  показал, что их энергетическая структура в основном определяется системой энергетических уровней фенильных лигандов, слабо возмущенных взаимодействиями с валентными АО кремния. В энергетической структуреМО соединения  $\text{PhSiH}_3$  преимущественным образом представлены орбитали энергетически связанные с  $t_{2g}$ - и  $a_1g$ -уровнями тетраэдрического  $\text{SiH}_4$ .

**Ключевые слова:** электронное строение, фенилсиланы, рентгеновская эмиссионная спектроскопия, теория функционала плотности.

**ВВЕДЕНИЕ**

Известно [ 1—11 ], что силаны применяют в различных реакциях органического синтеза (получение ценных кремнийорганических полимеров и др.), а также как источник чистого кремния для микроэлектронной промышленности. Так, например, силан широко используется в микроэлектронике и получает все большее применение при изготовлении кристаллических и тонкопленочных фотопреобразователей на основе кремния, ЖК экранов, подложек и технологических слоев интегральных схем. В последнее время появилось значительное количество работ по исследованию фенилсиланов и их производных в качестве перспективных материалов для создания кремнийорганических светодиодов (OLED), которые обладают высокой эффективностью, яркостью и могут излучать в широком интервале длин волн в зависимости от различных подобранных заместителей.

Так как спектральные характеристики и свойства таких материалов существенным образом связаны с их электронным строением, то исследование последнего имеет важнейшее значение. Одним из хорошо апробированных методов исследования электронной структуры соединений является метод рентгеновской эмиссионной спектроскопии [ 12, 13 ], который, благодаря анализу различных серий рентгеновских линий, позволяет исследовать систему молекулярных уровней соединения, оценить степень участия определенных атомов и атомных орбиталей в образовании химических связей в молекулах и кристаллах. В частности  $\text{Si}K\beta_1$ -спектры, которые об-

разуются в результате электронных переходов с 3p-уровней кремния на вакансию в Si 1s-уровне, отображают вклады 3p-АО кремния в MO валентной полосы исследуемых кремнийорганических соединений. Интенсивности компонентов SiK $\beta_1$ -спектра в приближении MO ЛКАО пропорциональны квадратам коэффициентов  $C_{ij}^2$  линейной комбинации атомных волновых функций, о чем подробнее изложено ниже в разделе о квантово-химических расчетах.

В свою очередь, метод фотоэлектронной спектроскопии (ФЭС) позволяет с высоким разрешением ( $\sim 10^{-3}$  эВ) измерять потенциалы ионизации (ПИ) валентных электронов, выбитых из образца ультрафиолетовым излучением [14]. Совокупность методов рентгеновской эмиссионной спектроскопии и ФЭС позволяет более точно определить энергетическую структуру валентной полосы исследуемых соединений.

Рентгеноспектральное исследование фенилсиланов было проведено ранее [15—17], однако эти исследования или не были сопоставлены с теоретическими расчетами, или расчеты того времени не могли дать достаточную точность для описания деталей рентгеновских эмиссионных спектров [16]. В последнее время были проведены современные квантово-химические расчеты ряда фенилсиланов, но они касались только структурных характеристик молекул и их конформационных свойств [18, 19].

Применение в исследованиях электронного строения молекулярных объектов современных программ квантово-химических расчетов дает возможность всесторонне разобраться в деталях электронного строения, установить закономерности формирования молекулярных орбиталей (МО) с участием электронных волновых функций атомов и фрагментов. Совместное экспериментально-теоретическое исследование электронного строения сложных молекулярных объектов делает результаты максимально достоверными, наглядными и понятными.

Основной целью настоящей работы является выяснение закономерностей формирования электронной структуры ряда фенилсиланов  $\text{Ph}_{4-n}\text{SiH}_n$  ( $n = 0—3$ ) путем совместного анализа расчетных и рентгеноспектральных данных.

## ЭКСПЕРИМЕНТАЛЬНАЯ ЧАСТЬ

Рентгеновские флуоресцентные SiK $\beta_1$ -спектры всех соединений получены на спектрометре ДРС-2М [20] с фокусировкой по методу Иоганна. Использовался кварцевый кристаллоанализатор (1010) с радиусом изгиба 500 мм. Разрешающая сила спектрометра, измеренная по дублету  $\text{Co}K_{\alpha_{1,2}}$ , составляла 15 000, что соответствует аппаратурному искажению в области исследуемой линии 0,15 эВ. Для регистрации спектров использовался фотометод, время экспозиции SiK $\beta_1$ -спектров составляло 30—50 ч при режиме рентгеновской трубы БХВ-9Рd ( $U = 22$  кВ и  $I = 90$  мА). Жидкие образцы фенилсилана для съемок помещали в криостат и охлаждали до температуры жидкого азота.

## КВАНТОВО-ХИМИЧЕСКИЕ РАСЧЕТЫ

Квантово-химические расчеты проводили методом теории функционала плотности (ТФП) с использованием программного комплекса Gaussian-03 [21]. Использовался гибридный функционал B3LYP с корреляционной частью в форме Ли—Янга—Парра [22] и обменной частью Бекке [23]. Был взят стандартный расширенный валентно-расщепленный базис 6-311G\*\* [24, 25] для всех атомов исследуемых соединений. Такая схема расчета была успешно использована для квантово-химических расчетов большего количества кремнийорганических соединений [26—29].

Энергии рентгеновских переходов  $E_{ij}$  вычислялись как разности между энергиями валентных  $\varepsilon_i$  и внутренних уровней  $\varepsilon_j$ , найденных в приближении "замороженных" орбиталей (вертикальные потенциалы ионизации по теореме Купманса):

$$E_{ij} = \varepsilon_i - \varepsilon_j. \quad (1)$$

Интенсивности рентгеновских переходов с занятых молекулярных орбиталей на оставшую атомную орбиталь  $j$  атома А вычислялись по формуле [30]:

$$I_{ij} \propto |\int \phi_i^A(r)(er)\phi_j(r)d\tau|^2 = N \left| \sum_A \phi_{1s}^A(r)(er) \sum_A C_{jp} \sum_A \phi^A(r)d\tau \right|^2, \quad (2)$$

$$I_{ij}^A \sim N \sum_i |C_{ij}^A|, \quad (3)$$

где  $C_{ij}^A$  — коэффициенты ЛКАО, с которыми в выбранные MO входят AO  $i$  и  $j$ ;  $N$  — нормировочный множитель. Для получения эмиссионного  $\text{Si}K\beta_1$ -спектра найденные из квантово-химического расчета коэффициенты  $C_{ij}^2$  ( $j = 3p$ ) суммировались по формуле (3) для атомов кремния. При построении рентгеновских эмиссионных спектров дискретные линии, возникающие за счет переходов с определенных MO, уширялись на лоренцову функцию с шириной 0,5 эВ.

Необходимые для расчетов координаты атомов в молекулах фенилсиланов были взяты из рентгеноструктурных данных этих соединений [31—36]. В большинстве случаев оптимизацию структуры молекул не проводили. Однако для соединения  $\text{Ph}_3\text{SiH}$ , для которого не обнаружено рентгеноструктурных данных, оптимизация была проведена.

## РЕЗУЛЬТАТЫ И ИХ ОБСУЖДЕНИЕ

Электронное строение ряда фенилсиланов  $\text{Ph}_{4-n}\text{SiH}_n$  ( $n = 0—3$ ) было исследовано путем совместного рассмотрения тонкой структуры рентгеновских эмиссионных  $\text{Si}K\beta_1$ -спектров, фот-

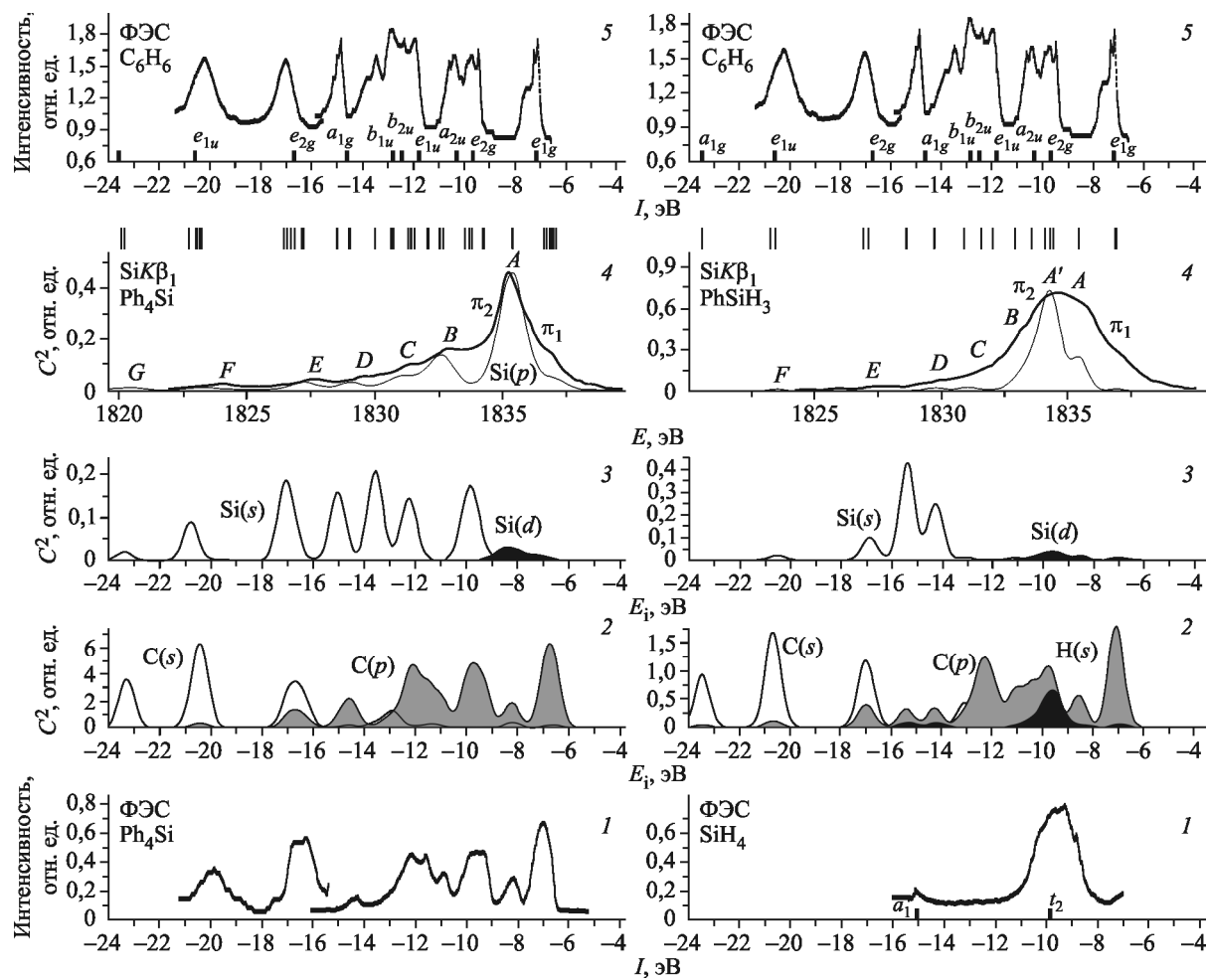


Рис. 1. Экспериментальный (сплошная жирная линия) и теоретический (сплошная тонкая линия  $\text{Si}(p)$ ) рентгеновские эмиссионные  $\text{Si}K\beta_1$ -спектры (4), распределение плотности электронных состояний различной симметрии (2, 3), фотоэлектронные спектры  $\text{Ph}_4\text{Si}$  (1),  $\text{SiH}_4$  (1),  $\text{C}_6\text{H}_6$  (5) и диаграммы орбитальных энергий  $\text{C}_6\text{H}_6$  (5),  $\text{Ph}_4\text{Si}$  (4),  $\text{PhSiH}_3$  (4) для  $\text{Ph}_4\text{Si}$  (левая панель) и  $\text{PhSiH}_3$  (правая панель)

электронных спектров  $C_6H_6$ ,  $SiH_4$   $Ph_4Si$  и данных квантово-химических расчетов методом ТФП. На рис. 1 приведены экспериментальные  $SiK\beta_1$ -спектры  $Ph_4Si$  и  $PhSiH_3$ , построенные на основе расчета распределения плотностей электронных состояний различной симметрии атомов Si, C и H, диаграммы орбитальных энергий  $C_6H_6$ ,  $Ph_4Si$  и  $PhSiH_3$ , а также фотоэлектронные спектры  $Ph_4Si$  [37],  $SiH_4$  [38] и  $C_6H_6$  [39].

В табл. 1 и 2 приведены данные расчетов орбитальных энергий  $Ph_4Si$ ,  $PhSiH_3$  и  $C_6H_6$ , дополненные значениями энергий компонентов  $SiK\beta_1$ -спектров и ПИ  $Ph_4Si$ . Показаны состав MO и преимущественный характер химической связи в  $Ph_4Si$  и  $PhSiH_3$ . Корреляционная диаграмма валентных энергетических уровней, дополненная видом MO для  $SiH_4$ ,  $C_6H_6$  и  $Ph_4Si$ , показана на рис. 2.

Сопоставление ФЭС бензола с ФЭС  $Ph_4Si$  демонстрирует явное сходство этих спектров, за исключением некоторых деталей. Это указывает, что замещение атома водорода в молекулах бензола на атом кремния приводит к малому возмущению их MO структуры. Особенно это хорошо видно для пиков ФЭС с высокими энергиями ПИ 24—13 эВ. Детальное описание электронного строения  $Ph_4Si$  проведем на основе совместного рассмотрения экспериментальных данных с квантово-химическими расчетами исследуемых молекул. Результаты расчета  $Ph_4Si$  приведены в табл. 1.

Как видно из рис. 1 и данных табл. 1, совокупность MO  $Ph_4Si$  можно разбить на ряд групп, большая часть из которых представляет собой наборы уровней, возникающих в результате расщепления уровней бензола при взаимодействии его с атомом кремния. Основные вклады

Таблица 1

ПИ  $I_{MO}$  [33] и энергии компонентов  $E$   $SiK\beta_1$ -спектра  $Ph_4Si$ , орбитальные энергии  $\varepsilon_i$ , состав MO  $C^2$  кремния и фенила (%) и соответствующие им химические связи

$I_{MO}$ , ФЭС, эВ	$E$ $SiK\beta_1$ , эВ	$\varepsilon_i$ MO, эВ	$C^2$ Si, %	$C^2$ Ph, %	Химическая связь
-9,0	1837,0 ( $\pi_1$ )	-6,702÷-7,177	2( $p$ )	98÷100	$p_\pi$ Si—C(Ph)
		-8,339÷-8,386	16( $p$ )+4( $d$ )	80	$d_\pi + p_\sigma$ Si—C(Ph)
		-9,424	1( $s$ )	99	$s_\sigma$ Si—C(Ph)
		-9,472	0	100	$p_\sigma$ C(Ph)
		-9,505	1( $p$ )	99	$p_\sigma$ Si—C(Ph)
		-9,915	13( $s$ )	87	$s_\sigma$ Si—C(Ph)
		-10,019÷-10,059	0	100	$p_\pi$ C(Ph)
		-10,212	6( $s$ )	94	$s_\sigma$ Si—C(Ph)
		-11,047÷-11,165	5( $p$ )	95	$p_\sigma$ Si—C(Ph)
		-11,626÷-11,667	0	100	$p_\sigma$ C(Ph)
-11,6	1833,0 ( $B$ )	-12,189÷-12,406	2( $s$ )+13( $s$ )	87÷98	$s_\sigma$ Si—C(Ph)
		-13,00÷-13,05	1( $p$ )	99	$p_\sigma$ Si—C(Ph)
-12,9	1831,5 ( $C$ )	-13,682	21( $s$ )	79	$s_\sigma$ Si—C(Ph)
		-14,644÷-14,691	1( $p$ )	99	$p_\sigma$ Si—C(Ph)
-14,2	1829,7 ( $D$ )	-15,154	17( $s$ )	83	$s_\sigma$ Si—C(Ph)
		-16,448÷-16,834	1( $p$ )+4( $s$ )	96÷99	$p_\sigma$ Si—C(Ph) $s_\sigma$ Si—C(Ph)
-16,3	1827,7 ( $E$ )	-16,973÷-17,098	0	100	$s_\sigma$ C(Ph)
		-17,236	17( $s$ )	83	$s_\sigma$ Si—C(Ph)
-18,4	1824,0 ( $F$ )	-20,42÷-20,645	0÷1( $p$ )	99÷100	$s_\sigma$ C(Ph)
		-20,92	9( $s$ )	91	$s_\sigma$ Si—C(Ph)
		-23,423÷-23,527	0÷2( $s$ )	98÷100	$s_\sigma$ C(Ph)

АО для этих МО близки между собой и мало отличаются от соответствующих значений одной из соответствующих МО бензола. Число уровней в этих группах равно произведению кратности вырождения соответствующего уровня бензола на число фенильных лигандов в кремний-органической молекуле.

Построенные на основе расчетов распределения электронной плотности дают информацию о вкладах соответствующих АО в МО валентной полосы  $\text{Ph}_4\text{Si}$ . Отметим, что распределение Si 3p-электронной плотности атома кремния по валентной полосе фактически представляет собой теоретический  $\text{Si}K\beta_1$ -спектр.

Сравнение экспериментального и теоретического  $\text{Si}K\beta_1$ -спектров показывает, что проведенный нами расчет хорошо передает как энергетическую структуру  $\text{Si}K\beta_1$ -спектра  $\text{Ph}_4\text{Si}$ , так и его форму (см. рис. 1, левая панель). Положение компонентов ( $A, B, C, D, G, F, E$ ) экспериментального и расчетного спектров совпадает с точностью до 0,3 эВ. Распределение интенсивностей компонентов по спектру также идентично для обеих кривых. Такое хорошее согласие позволяет нам использовать приведенные на этом рисунке графики плотности электронных состояний  $\text{Si}(s)$ ,  $\text{Si}(d)$ ,  $\text{C}(s)$  и  $\text{C}(p)$  для описания особенностей химической связи кремний—фенил ( $\text{Si—Ph}$ ) в  $\text{Ph}_4\text{Si}$ .

Наиболее интенсивные максимумы  $\text{Si}K\beta_1$ -спектра ( $A, B, C$ ) соответствуют в основном проявлению  $p_\sigma$  Si—Ph взаимодействия атомов кремния с атомами углерода бензольного кольца,

Таблица 2

Энергии компонентов  $\text{Si}K\beta_1$ -спектра, орбитальные энергии  $\varepsilon_i$  МО  $\text{C}_6\text{H}_6$  и  $\text{PhSiH}_3$ , их состав и характер химических связей

$E$ , эВ $\text{Si}K\beta_1$	$\varepsilon_i$ MO, эВ $\text{PhSiH}_3$	$\varepsilon_i$ MO, эВ $\text{C}_6\text{H}_6$	$C^2 \text{ Si, \%}$	$C^2 \text{ H, \%}$	$C^2 \text{ Ph, \%}$	Химическая связь
1835,9 ( $\pi_1$ )	-7,067	-6,996	1( $p$ )	3	96	$p_\pi \text{Si—C(Ph)}$ ,
	-7,099	1 $e_{1g}$	1( $p$ )	2	97	$(s,p)_\sigma \text{Si—H}$
1835,5 ( $A$ )	-8,560		2( $s$ )+24( $p$ )+1( $d$ )	4	69	$p_\sigma, d_\pi \text{Si—C(Ph)}$ ,
	-9,551	-9,466	32( $p$ )+2( $d$ )	32	34	$(s,p)_\sigma \text{Si—H}$
1834,5 ( $A'$ )	-9,687	3 $e_{2g}$	19( $p$ )+1( $d$ )	17	63	
	-9,891		26( $p$ )+1( $d$ )	21	52	
1833,7 ( $\pi_2$ )	-10,432	-10,122	19( $p$ )+1( $d$ )	13	67	
		1 $a_{2u}$				
1832,2 ( $B$ )	-11,077	-11,597	1( $s$ )+7( $p$ )	3	89	$p_\sigma \text{Si—C(Ph)}$ ,
		3 $e_{1u}$				$(sp)_\sigma \text{Si—H}$
1831,4 ( $C$ )	-11,966		0	0	100	$p_\sigma \text{C(Ph)}$
	-12,430	-12,287	1( $p$ )	1	98	$(sp)_\sigma \text{Si—H}$
1829,7 ( $D$ )	-13,091	-12,633	1( $s$ )+2( $p$ )	1	96	
		2 $b_{1u}$				
1827,1 ( $E$ )	-14,276	-14,425	25( $s$ )+2( $p$ )	8	65	$s_\sigma \text{Si—H}$
		3 $a_{1g}$				
1823,3 ( $F$ )	-15,396		43( $s$ )	9	48	$s_\sigma \text{Si—H, C(Ph)}$
	-16,884	-16,511	10( $s$ )	1	89	
	-17,087	2 $e_{2g}$	0	0	100	$s_\sigma \text{C(Ph)}$
	-20,582	-20,415	2( $s$ )+1( $p$ )	0	97	$s_\sigma \text{Si—C(Ph)}$
	-20,765	2 $e_{1u}$	0	0	100	$s_\sigma \text{C(Ph)}$
	-23,484	-23,397	0	0	100	
		2 $a_{1g}$				

Рис. 2. Энергетическая корреляционная диаграмма и вид верхних занятых MO для  $\text{SiH}_4$ ,  $\text{C}_6\text{H}_6$ ,  $\text{PhSiH}_3$

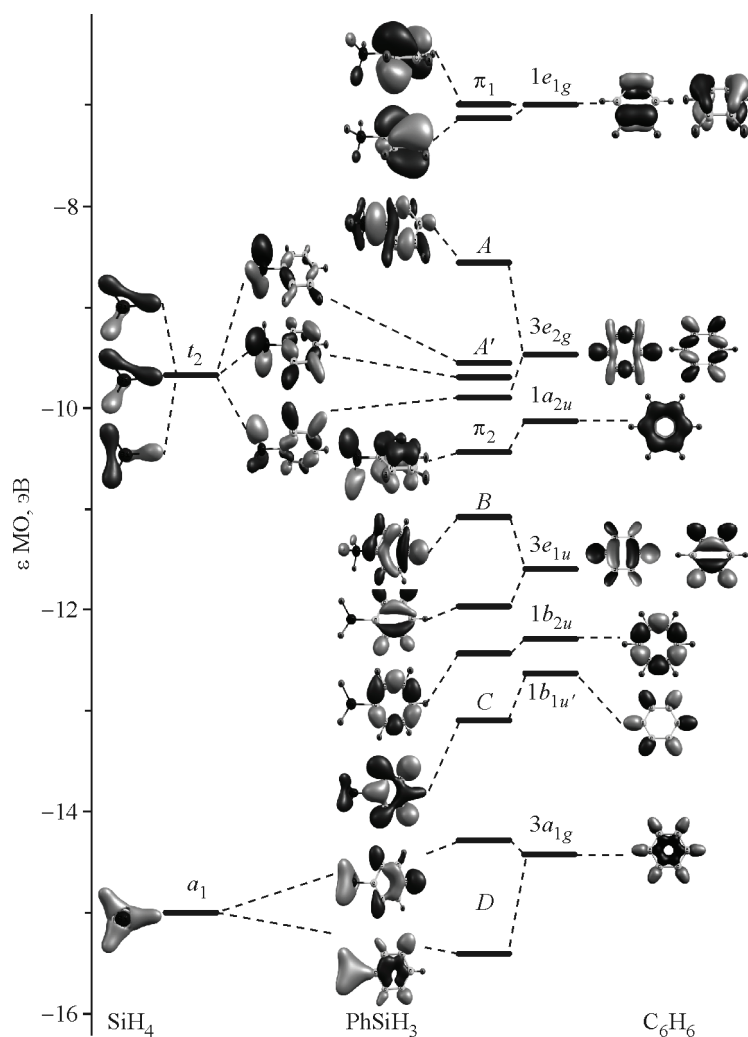
тогда как длинноволновые компоненты спектра ( $G, F, E$ ) определяются  $s_{\sigma}$   $\text{Si}—\text{C}(\text{Ph})$  взаимодействием. Исходя из нашего расчета определенный вклад в формирование основного максимума  $A$   $\text{SiK}\beta_1$ -спектра вносит  $(p-d)_{\pi}$   $\text{Si}—\text{C}(\text{Ph})$  взаимодействие  $d$ -орбиталей кремния с  $p$ -орбиталями углерода, которое можно связать с известным эффектом  $(p-d)_{\pi}$  обратного донирования [40]. Наиболее коротковолновый компонент  $\text{SiK}\beta_1$  ( $\pi_1$ ) отражает взаимодействие  $\pi$ -системы бензольного кольца с  $p_{\sigma}$ -орбиталями кремния, которое известно как эффект сверхсопряжения в кремнийорганических соединениях [41].

Проведем анализ данных для молекулы  $\text{PhSiH}_3$  на основе рассмотрения электронного строения двух составляющих фрагментов:  $\text{C}_6\text{H}_5$  и  $\text{SiH}_3$ . В рамках подхода трансферабельности химических связей можно предположить, что они в значительной степени сохраняют особенности своих исходных электронных структур  $\text{C}_6\text{H}_6$  и  $\text{SiH}_4$ . Действительно, со-поставление диаграмм орбитальных энергий бензола, силана и монофенилсилана (см. рис. 1, правая панель) и данные табл. 2 показывают, что к сохранившим свое положение уровням бензола  $3a_{1g}$ ,  $2b_{2u}$ ,  $1b_{2u}$ ,  $3e_{1u}$ ,  $1a_{2u}$ ,  $3e_{2g}$  и  $1e_{1g}$  добавились уровни, генетически связанные с  $t_2$  и  $a_1$  MO тетраэдрического  $\text{SiH}_4$ . Подтверждение этому выводу дает  $\text{SiK}\beta_1$ -спектр и  $\text{Si}(p)$ -распределение (см. рис. 1, правая панель), в которых появляются уровни, соответствующие MO  $\text{PhSiH}_3$ , образованным с участием  $s$ -,  $p$ - и  $d$ -орбиталей кремния, а также отчетливо видно на кривых распределения плотности электронных состояний атомов Si, C и  $\text{H}_{(\text{силана})}$ .

Основные максимумы  $\text{SiK}\beta_1$ -спектра  $A$  и  $A'$  отражают  $\sigma$ -взаимодействия  $\text{Si}—\text{Ph}$  и  $\text{SiH}_3$  соответственно. Кроме того,  $\pi$ -взаимодействие с участием  $p$ - и  $d$ -состояний кремния и  $\pi$ -МО бензола проявляются в виде небольших по интенсивности  $\pi_1$  и  $\pi_2$  компонентах  $\text{SiK}\beta_1$ -спектра монофенилсилана  $\text{PhSiH}_3$ .

Слабоинтенсивные длинноволновые компоненты  $\text{SiK}\beta_1$ -спектра ( $B, C, D, E, F$ ) отражают  $\sigma$ -взаимодействие  $s$ - и  $p$ -электронов атома кремния с атомами углерода бензольного кольца. Кроме того, MO  $\text{PhSiH}_3$ , которым соответствуют компоненты ( $D, E$ ), содержат значительный вклад  $s$ -состояний  $\text{H}_{(\text{силана})}$  и генетически связаны с  $a_1$ -МО тетраэдрического  $\text{SiH}_4$ .

На рис. 2 представлены энергетическая корреляционная диаграмма и вид верхних занятых MO для  $\text{SiH}_4$ ,  $\text{C}_6\text{H}_6$ ,  $\text{PhSiH}_3$ , которые демонстрируют основные типы взаимодействия в молекуле монофенилсилана. Основная химическая связь в молекуле  $\text{PhSiH}_3$  реализуется за счет гибридизации групповых орбиталей  $3e_{2g}$   $\text{C}_6\text{H}_6$  и  $t_2$   $\text{SiH}_4$  (компоненты  $A$  и  $A'$   $\text{SiK}\beta_1$ -спектра соответст-



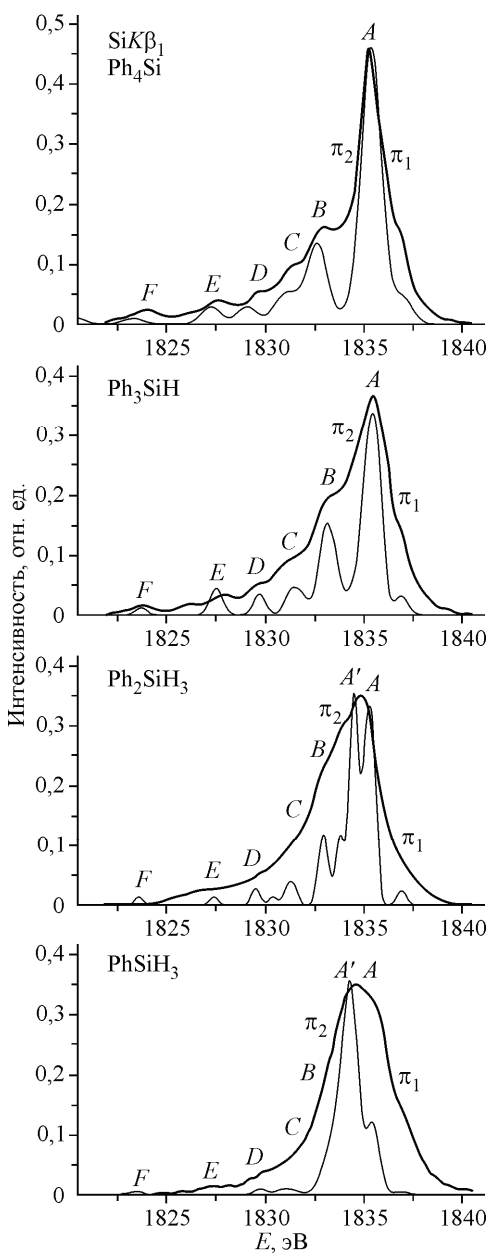


Рис. 3. Экспериментальные (сплошная жирная линия) и теоретические (сплошная тонкая линия  $\text{Si}(p)$ ) рентгеновские эмиссионные  $\text{Si}K\beta_1$ -спектры  $\text{PhSiH}_3$ ,  $\text{Ph}_2\text{SiH}_2$ ,  $\text{Ph}_3\text{SiH}$ ,  $\text{Ph}_4\text{Si}$

венно). Нижележащие МО являются слабомодифицированными орбиталями фрагментов, указывая на незначительное перекрывание образующих их АО Si, С и H<sub>(силана)</sub>, что также подтверждается небольшими значениями заселенности, приведенными в табл. 2.

На рис. 3 рентгеновские эмиссионные  $\text{Si}K\beta_1$ -спектры ряда исследованных фенилсиланов  $\text{Ph}_{4-n}\text{SiH}_n$  ( $n = 0—3$ ) совмещены с рассчитанными распределениями  $p$ -электронной плотности кремния. Теоретические расчеты хорошо воспроизводят тонкую структуру экспериментальных спектров. Сопоставление спектров показывает, что при переходе от монофенилсилану к тетрафенилсилану интенсивности компонентов ( $A, B, C, D, E, F$ ), отвечающих взаимодействию атома кремния с атомами углерода фенильных групп, возрастают с увеличением их количества. В то же время интенсивность компоненты  $A'$ , отвечающей взаимодействию АО кремния и водорода, уменьшается в зависимости от количества водородных лигандов. Основной максимум ( $A$  и  $A'$ ) рентгеновских эмиссионных  $\text{Si}K\beta_1$ -спектров, кроме того, отражает участие  $d$ -состояний кремния в химической связи в фенилсиланах. Согласно данным квантово-химических расчетов, заселенности  $d$ -АО кремния в ряду фенилсиланов увеличиваются практически линейно: 0,087 ( $\text{PhSiH}_3$ ), 0,092 ( $\text{Ph}_2\text{SiH}_2$ ), 0,105 ( $\text{Ph}_3\text{SiH}$ ), 0,111 ( $\text{Ph}_4\text{Si}$ ) за счет эффекта сверхсопряжения, т.е. происходит понижение электронной плотности на бензольном кольце вследствие взаимодействия  $\pi$ -системы с  $d_{\pi}$ -орбиталями кремния.

Коротковолновый компонент  $\pi_1$   $\text{Si}K\beta_1$ -спектров фенилсиланов систематически увеличивается по интегральной интенсивности в зависимости от количества фенильных групп. Этот эффект обусловлен увеличением  $\pi$ -взаимодействия атомов кремния с  $\pi$ -системой фенильных колец лигандов.

В целом можно отметить закономерный характер изменений электронного строения фенилсиланов в ряду  $\text{Ph}_{4-n}\text{SiH}_n$  ( $n = 0—3$ ) в зависимости от соотношения различных лигандов Ph и H, а также слабую корреляцию энергетической структуры  $\text{Si}K\beta_1$ -спектров от симметрии молекул.

## ЗАКЛЮЧЕНИЕ

Электронное строение ряда фенилсиланов  $\text{Ph}_{4-n}\text{SiH}_n$  ( $n = 0—3$ ) исследовано методами рентгеновской эмиссионной спектроскопии и квантово-химических расчетов. Построенные на основе расчетов теоретические  $\text{Si}K\beta_1$ -спектры исследованных фенилсиланов оказались в хорошем согласии с экспериментом. Анализ полученных рентгеновских флуоресцентных  $\text{Si}K\beta_1$ -спектров и плотностей электронных состояний в соединениях  $\text{Ph}_4\text{Si}$  и  $\text{Ph}_3\text{SiH}$  показал, что их энергетическая структура в основном определяется системой энергетических уровней фенильных лигандов, слабо возмущенных взаимодействиями с валентными АО кремния. Электронная структура  $\text{PhSiH}_3$  близка к таковой для тетраэдрического  $\text{SiH}_4$ , для нее характерно образование

МО, генетически связанных с  $t_2$ - и  $a_1$ -уровнями силана. Показано увеличение заселенности  $d$ -AO кремния в ряду фенилсиланов с увеличением числа фенильных фрагментов.

#### СПИСОК ЛИТЕРАТУРЫ

1. Jong-Uk Kim, Hyo-Ban Lee, Ji-Soo Shin et al. // Synthetic Metals. – 2005. – **150**. – P. 27.
2. Kido J., Nagai K., Okamoto Y., Skotheim T. // Chem. Lett. – 1991. – **20**, N 7. – P. 1267.
3. Cimrova V., Neher D., Remmers M., Kmínek I. // Adv. Mater. – 1998. – **10**, N 9. – P. 676.
4. Tamao K., Uchida M., Izumizawa T., Furukawa K., Yamaguchi S. // J. Amer. Chem. Soc. – 1996. – **118**. – P. 11974.
5. Luo J., Xie Z., Lam J.W.Y. et al. // Chem. Commun. – 2001. – **47**, N 18. – P. 1740.
6. Gao Z., Lee C.S., Bello I. et al. // Appl. Phys. Lett. – 1999. – **74**. – P. 865.
7. Wu C.-C., Chen C.-W., Lin Y.-T. et al. // Appl. Phys. Lett. – 2001. – **79**. – P. 3023.
8. Kim Y.-H., Shin D.-C., Kim S.-H. et al. // Adv. Mater. – 2001. – **13**. – P. 1690.
9. Pschirer N.G., Miteva T., Evans U. et al. // Chem. Mater. – 2001. – **13**. – P. 2691.
10. Shih H.T., Lin C.H., Shih H.H., Cheng C.-H. // Adv. Mater. – 2002. – **14**. – P. 1409.
11. Liu S.-F., Wu Q., Schimider H.L. et al. // J. Amer. Chem. Soc. – 2000. – **122**. – P. 3671.
12. Майзель А., Леонхардт Г., Сарган Р. Рентгеновские спектры и химическая связь. – Киев: Наукова думка, 1980.
13. Мазалов Л.Н., Юматов В.Д., Мурахманов В.В. и др. Рентгеновские спектры молекул. – Новосибирск: Наука, 1977.
14. Ellis M., Timothy M.F., Wright G. Electronic and Photoelectron Spectroscopy. – Cambridge University Press, 2005. – P. 286.
15. Татевосян М.М., Шуваев А.Т., Землянов А.П. и др. // Журн. структур. химии. – 1977. – **18**, № 4. – С. 684.
16. Шуваев А.Т., Татевосян М.М., Копылов В.М., Харабаев Н.Н. // Теор. и эксперим. химия. – 1984. – **20**, № 3. – С. 369.
17. Dyachkov P.N., Ioslovich N.V., Levin A.A. // Theoret. Chim. Acta (Bed.). – 1975. – **40**. – P. 237.
18. Campanelli A.R., Ramondo F., Domenicano A. // J. Phys. Chem. A. – 2001. – **105**. – P. 5933.
19. Campanelli A.R., Domenicano A., Ramondo F., Hargittai I. // Struct. Chem. – 2011. – **22**, N 2. – P. 361.
20. Блохин М.А. Методы рентгеноспектральных исследований. – М.: Физматгиз, 1959.
21. Frisch M.J., Trucks G.W., Schlegel H.B. et al. // Gaussian 03, Revision A.1, Gaussian, Inc., Pittsburgh PA, 2003.
22. Lee C., Yang W., Parr R.G. // Phys. Rev. B. – 1988. – **37**. – P. 785.
23. Becke A.D. // J. Chem. Phys. – 1993. – **98**. – P. 5648.
24. McLean A.D., Chandler G.S. // J. Chem. Phys. – 1980. – **72**. – P. 5639.
25. Raghavachari K., Binkley J.S., Seeger R., Pople J.A. // J. Chem. Phys. – 1980. – **72**. – P. 650.
26. Nag M., Gaspar P.P. // Chem. Eur. J. – 2009. – **15**. – P. 8526.
27. Yun-qiao Ding, Qing-an Qiao, Peng Wang. et al. // Chem. Phys. – 2010. – **367**. – P. 167.
28. Pavel I., Strohfeldt K., Strohmann C., Kiefer W. // Inorg. Chim. Acta. – 2004. – **357**. – P. 1920.
29. Alcolea Palafox M., Go'mez P.C., Pacios L.F. // J. Mol. Struct. (Theochem). – 2000. – **528**. – P. 269.
30. Мазалов Л.Н. Рентгеновские спектры. – Новосибирск: ИНХ СО РАН, 2003.
31. Glidewell C., Sheldric G.M. // J. Chem. Soc. A. – 1971. – P. 3127.
32. Parkanyi L., Sasvari K. // Period. Polytech. Chem. Eng. – 1973. – **17**. – P. 271.
33. Gruhnert V., Kirfel A., Will G. et al. // Z. Kristallogr., Kristallgeom., Kristallphys., Kristallchem. – 1983. – **163**. – S. 53.
34. Allemand J., Gerdil R. // Cryst. Struct. Commun. – 1979. – **8**. – P. 927.
35. Rofooei M.K., Lawless G.A., Morsali A. // X-Ray Struct. Anal. Online. – 2005. – **21**. – P. 103.
36. Mitzel N.W., Brain P.T., Hofmann M.A. // Z. Naturforsch., B: Chem. Sci. – 2002. – **57**. – S. 202.
37. Novak I., Potts A.W. // J. Organometal. Chem. – 1984. – **262**. – P. 17.
38. Bock H., Ensslin W., Feher F., Freund R. // J. Amer. Chem. Soc. – 1976. – **98**, N 3. – P. 668.
39. Мазалов Л.Н. // Журн. структур. химии. – 2003. – **44**, № 1. – С. 7.
40. Thames S.F., Panjani K.G. // J. Inorg. Organometal. Polymers. – 1996. – **6**, N 2. – P. 59.
41. Дьюар М. // Сверхсопряжение. – М.: Мир, 1965.